

弾性床上ラーメンの構造特性

岩手大学工学部 正員 宮本 裕
 学生員 ○安彦 敏郎
 学生員 伊藤 隆彦

1. すでに、弾性床上の桁の剛性マトリックスと Anfang parameter 法により説明した。ここでは、分布荷重 $p(x)$ が作用するときの微分方程式の解と演算子を用いて求め、Anfang parameter 法により剛性マトリックスを説明した。この剛性マトリックスを用いて、変形法により、弾性床上のラーメンの解析を行った。

2. 弾性床上の桁の剛性マトリックスの説明

図-1 のような弾性床上の桁に分布荷重 $p(x)$ が作用するときの微分方程式は

$$EIy''' + k'y = p(x) \quad \dots (1) \text{となる}$$

$$\beta^4 = \frac{k}{4EI} \text{ とおくと } y''' + 4\beta^4 y = \frac{p(x)}{EI} \quad \dots (2)$$

余分関数は $y''' + 4\beta^4 y = 0$ より

$$y(x) = C_1 \sin \beta x \sinh \beta x + C_2 \cos \beta x \cosh \beta x + C_3 \sin \beta x \cosh \beta x + C_4 \cos \beta x \sinh \beta x$$

特解は微分演算子 D を用いて $(D^4 + 4\beta^4)y = \frac{1}{EI}p(x)$

$$\begin{aligned} \therefore y(x) &= \frac{1}{D^4 + 4\beta^4(EI)} \frac{p(x)}{EI} = -\frac{1+i}{16EI\beta^3} \frac{p(x)}{D-\beta\beta i} + \frac{1-i}{16EI\beta^3} \frac{p(x)}{D+\beta\beta i} + \frac{(1+i)}{16EI\beta^3} \frac{p(x)}{D+\beta\beta i} - \frac{1-i}{16EI\beta^3} \frac{p(x)}{D-\beta\beta i} \\ &= -\frac{1+i}{16EI\beta^3} e^{(\beta+2i)x} \int p(x) e^{-(\beta+2i)x} dx + \frac{1-i}{16EI\beta^3} \int p(x) e^{-(\beta+2i)x} dx + \frac{1+i}{16EI\beta^3} e^{(\beta+2i)x} \int p(x) e^{(\beta+2i)x} dx - \frac{1-i}{16EI\beta^3} e^{(\beta+2i)x} \end{aligned}$$

$$\therefore e^{\beta x} = \sinh \beta x + \sin \beta x, e^{-\beta x} = \cosh \beta x - \sin \beta x, e^{i\beta x} = \cos \beta x + i \sin \beta x, e^{-i\beta x} = \cos \beta x - i \sin \beta x$$

$$\therefore y(x) = \int_0^x \{ \sinh \beta(x-t) \sin \beta(x-t) - \cosh \beta(x-t) \cos \beta(x-t) \} x \frac{p(t)}{4EI\beta^3} dt$$

$$(2) の解は y(x) = C_1 \sin \beta x \sinh \beta x + C_2 \cos \beta x \cosh \beta x + C_3 \sin \beta x \cosh \beta x + C_4 \cos \beta x \sinh \beta x$$

$$+ \int_0^x \{ \sinh \beta(x-t) \sin \beta(x-t) - \cosh \beta(x-t) \cos \beta(x-t) \} \frac{p(t)}{4EI\beta^3} dt \quad \dots \dots (3)$$

$$\begin{aligned} y'(x) &= \beta \{ C_1 (\sin \beta x \sinh \beta x + \cos \beta x \cosh \beta x) + C_2 (\cos \beta x \cosh \beta x - \sin \beta x \sinh \beta x) + C_3 (\sin \beta x \cosh \beta x + \cos \beta x \sinh \beta x) \\ &\quad + C_4 (\cos \beta x \sinh \beta x - \sin \beta x \cosh \beta x) \} + \int_0^x \{ \sinh \beta(x-t) \sin \beta(x-t) \} \frac{p(t)}{2EI\beta^2} dt \quad \dots \dots (4) \end{aligned}$$

$$\begin{aligned} \frac{M(x)}{EI} &= -y''(x) = -2\beta^2 \{ C_1 (\cos \beta x \cosh \beta x - \sin \beta x \sinh \beta x) + C_2 (\sin \beta x \cosh \beta x + \cos \beta x \sinh \beta x) \\ &\quad - C_3 (\sin \beta x \sinh \beta x + \cos \beta x \cosh \beta x) + C_4 (\sin \beta x \cosh \beta x - \cos \beta x \sinh \beta x) \} \\ &\quad - \int_0^x \{ \sinh \beta(x-t) \sin \beta(x-t) + \cosh \beta(x-t) \cos \beta(x-t) \} \frac{p(t)}{2EI\beta^2} dt \quad \dots \dots (5) \end{aligned}$$

$$\begin{aligned} \frac{Q(x)}{EI} &= -y'''(x) = -2\beta^3 \{ C_1 (\cos \beta x \sinh \beta x - \sin \beta x \cosh \beta x) - C_2 (\sin \beta x \sinh \beta x + \cos \beta x \cosh \beta x) + C_3 (\cos \beta x \sinh \beta x - \sin \beta x \cosh \beta x) \\ &\quad - C_4 (\sin \beta x \cosh \beta x + \cos \beta x \sinh \beta x) \} - \int_0^x \{ \sinh \beta(x-t) \cos \beta(x-t) \} \frac{p(t)}{EI\beta} dt \quad \dots \dots (6) \end{aligned}$$

$$y(0), y'(0), M(0), Q(0) を与えると C_1 = -\frac{M(0)}{EI \cdot 2\beta^2}, C_2 = \frac{y(0)}{2\beta} + \frac{Q(0)}{EI \cdot 4\beta^3}, C_3 = \frac{y'(0)}{2\beta} - \frac{Q(0)}{EI \cdot 4\beta^3}, C_4 = y(0) \quad \dots \dots (7)$$

(7) & (3), (4), (5), (6) に代入すると $y(x), y'(x), \frac{M(x)}{EI}, \frac{Q(x)}{EI}$ が求められる。これらの式に $x=l$ を代入すると (8) のようになる

$$\begin{pmatrix} y(l) \\ y'(l) \\ \frac{M(l)}{EI} \\ \frac{Q(l)}{EI} \end{pmatrix} = \begin{pmatrix} a_{11} & a_{12} & a_{13} & a_{14} \\ a_{21} & a_{22} & a_{23} & a_{24} \\ a_{31} & a_{32} & a_{33} & a_{34} \\ a_{41} & a_{42} & a_{43} & a_{44} \end{pmatrix} \begin{pmatrix} y(0) \\ y'(0) \\ M(0) \\ Q(0) \end{pmatrix} + \begin{pmatrix} E_1 \\ E_2 \\ E_3 \\ E_4 \end{pmatrix} \quad \dots \dots (8)$$

$$\begin{pmatrix} \frac{Q(0)}{EI} \\ \frac{M(0)}{EI} \\ \frac{Q(l)}{EI} \\ \frac{M(l)}{EI} \end{pmatrix} = \begin{pmatrix} b_{11} & b_{12} & b_{13} & b_{14} \\ b_{21} & b_{22} & b_{23} & b_{24} \\ b_{31} & b_{32} & b_{33} & b_{34} \\ b_{41} & b_{42} & b_{43} & b_{44} \end{pmatrix} + \begin{pmatrix} G_1 \\ G_2 \\ H_1 \\ H_2 \end{pmatrix} \quad \dots \dots (9)$$

$$\begin{aligned} \text{ここで } E_4 &= \int_0^l \{ch\beta(l-t) \sin\beta(l-t) - sh\beta(l-t) \cos\beta(l-t)\} \frac{p(t)}{4EI\beta^3} dt \\ E_3 &= \int_0^l sh\beta(l-t) \sin\beta(l-t) \frac{p(t)}{2EI\beta^2} dt \\ E_2 &= - \int_0^l \{ch\beta(l-t) \sin\beta(l-t) + sh\beta(l-t) \cos\beta(l-t)\} \frac{p(t)}{2EI\beta} dt \\ E_1 &= - \int_0^l ch\beta(l-t) \cos\beta(l-t) \frac{p(t)}{EI} dt \end{aligned}$$

式(8)より $\frac{M(0)}{EI}, \frac{Q(0)}{EI}$ を求め、式(8)を式(9)のように変形する。 M, Q, y, y' の符号を図-2のようく定義すると式(10)を得る。

$$\left[\begin{array}{c} Q(0) \\ EI \end{array} \right] = \alpha \left[\begin{array}{c} +4\beta^3(\sin\beta l \cos\beta l - 2\beta^2(sh\beta l)^2 + \sin^2\beta l) \\ +sh\beta l ch\beta l \\ -2\beta^2(sh\beta l)^2 + \sin^2\beta l \\ -\sin\beta l \cos\beta l \end{array} \right] \left[\begin{array}{c} p(t) \\ M(0) \\ Q(l) \\ EI \end{array} \right] + \left[\begin{array}{c} -4\beta^3 \sin\beta l ch\beta l \\ -4\beta^3 \sin\beta l ch\beta l + 4\beta^2 \sin\beta l sh\beta l \\ +4\beta^3 (\cos\beta l sh\beta l + 2\beta^2(sh\beta l)^2 + \sin^2\beta l) \\ +2\beta^3(sh\beta l)^2 + 2\beta(sh\beta l ch\beta l - \cos\beta l \sin\beta l) \end{array} \right] \left[\begin{array}{c} y(0) \\ y'(0) \\ y(l) \\ y'(l) \end{array} \right] \left[\begin{array}{c} H_1 \\ G_1 \\ H_2 \\ G_2 \end{array} \right] \quad \dots \dots (10)$$

$$\text{ただし } \alpha = \frac{1}{2\beta^2 sh\beta l - \sin^2\beta l}$$

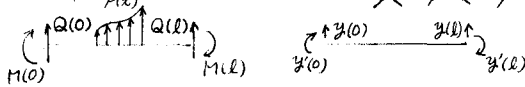


図-2

ここで G_1, G_2, H_1, H_2 は

$$G_1 = \frac{1}{(sh\beta l - \sin\beta l)EI\beta} \int_0^l \{sh\beta l ch\beta l \sin\beta t - \sin\beta l \sin\beta(l-t) sh\beta t\} p(t) dt$$

$$H_1 = \frac{-1}{(sh\beta l - \sin\beta l)EI\beta} \int_0^l \{sh\beta l(ch\beta l \sin\beta t + sh\beta l \cos\beta t) - \sin\beta l(\cos\beta l \sin\beta t) sh\beta t + \sin\beta l \sin\beta(l-t) ch\beta t\} p(t) dt$$

$$G_2 = \frac{-1}{(sh\beta l - \sin\beta l)EI\beta} \int_0^l \{sh\beta l \sin\beta l ch\beta t - \sin\beta l sh\beta l \sin\beta t\} p(t) dt$$

$$H_2 = \frac{-1}{(sh\beta l - \sin\beta l)EI\beta} \int_0^l \{sh\beta l \{\sin\beta l \sin\beta(l-t) ch\beta t + \cos\beta l \cos\beta t\} sh\beta t - \sin\beta l \{sh\beta l \sin\beta(l-t) \cos\beta t + ch\beta l \sin\beta t\}\} p(t) dt$$

特に、荷重が等分布荷重の場合は $p(x) = f = \text{constant}$ において

$$G_1 = \frac{+f(sh\beta l - \sin\beta l)}{2EI\beta^2(sh\beta l + \sin\beta l)}$$

$$H_1 = \frac{-f(ch\beta l - \cos\beta l)}{EI\beta(sh\beta l + \sin\beta l)}$$

$$G_2 = \frac{-f(sh\beta l - \sin\beta l)}{2EI\beta^2(sh\beta l + \sin\beta l)}$$

$$H_2 = \frac{-f(ch\beta l - \cos\beta l)}{EI\beta(sh\beta l + \sin\beta l)}$$

ばねのない場合の剛性マトリックスも

同様に計算できるが、ここでは

$$\lim_{k \rightarrow 0} H_1 = -\frac{f}{2} \beta l$$

のように求めること

ができる。以上で、弾性床上の桁やラ

ーメンが計算できることがわかった。

図-3は、その計算の一例である。

終りに、本研究をすすめるに際し、北大工学部渡辺昇教授に非常にお世話になったことを感謝する。

なお、計算は、北大、東北大、東大の大型計算機センターを利用した。

参考文献 弾性床上の桁の剛性マトリックス解析法について；渡辺、三浦、宮本、第29回講演概要集

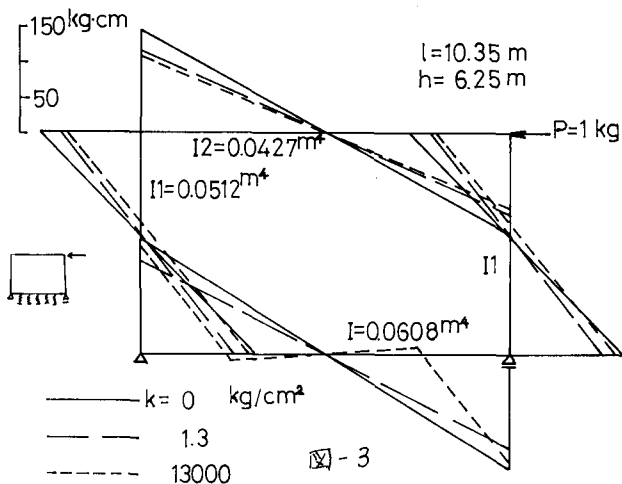


図-3